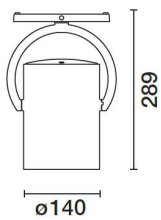


Letzte Aktualisierung der Informationen: Mai 2024

Produktkonfiguration: P086

P086: Strahler - Warm White - Optik 46°



Produktcode

P086: Strahler - Warm White - Optik 46° **Warnung! Code eingestellt**

Beschreibung

Pendelleuchte mit Dreiphasen-Adapter für Stromschienen oder Anschlussdose, aus Aluminiumdruckguss und thermoplastischem Material. Das Aufhängungssystem ist aus Stahlkabeln L=2000 gefertigt und gewährleistet eine einfache mechanische Verankerung. Die Drehungs- und Neigungsbewegungen können mechanisch arretiert werden, um die genaue Ausrichtung der Lichtausgabe zu garantieren (auch während Wartungsarbeiten). Mechanische Blockierung der Ausrichtung sowohl für die vertikale Drehung als auch für die horizontale Neigung. Elektronische Versorgungseinheit integriert. Die Leuchte wird komplett mit LED C.o.B.-Technologie ausgeliefert. Im Farbton Warm White 3000K CRI90. Möglichkeit der Anbringung eines flachen Accessoires. Wahlweise Refraktor für die elliptische Lichtverteilung, Soft Lens-Filter oder Blendschutzvorrichtung.

Installation

Als Hängeleuchte auf Stromschiene oder auf entsprechender Einbaudose

Farben

Weiß (01) | Schwarz (04) | Weiß/Verchromt (E4)

Gewicht (Kg)

2.4

Montage

Dreiphasenstromschienensystem

Verkabelung

Komplett mit elektronischen Bauteilen

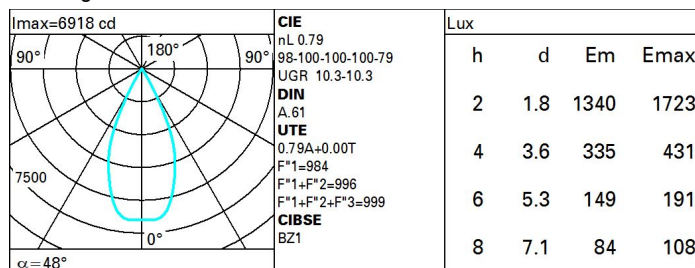
Gemäß der Normen EN60598-1 u. Sondernormen



Technische Daten

| | | | |
|---|--------|-----------------------------------|---------------------------------|
| Im System: | 3708.8 | CRI: | 90 |
| W System: | 39.1 | Farbtemperatur [K]: | 3000 |
| Im Lichtquelle: | 4700 | MacAdam Step: | 2 |
| W Lichtquelle: | 35 | Lebensdauer LED 1: | > 50,000h - L80 - B10 (Ta 25°C) |
| Lichtausbeute (lm/W, Systemwert): | 94.9 | Lampencode: | LED |
| Im im Notlichtbetrieb: | - | Anzahl Lampen in Leuchtengehäuse: | 1 |
| abgegebener Lichtstrom bei/ über einem Winkel von 90° [lm]: | 0 | ZVEI-Code: | LED |
| Leuchtenbetriebswirkungsgrad 79 (L.O.R.) [%]: | | Anzahl Leuchtengehäuse: | 1 |
| Abstrahlwinkel [°]: | 48° | | |

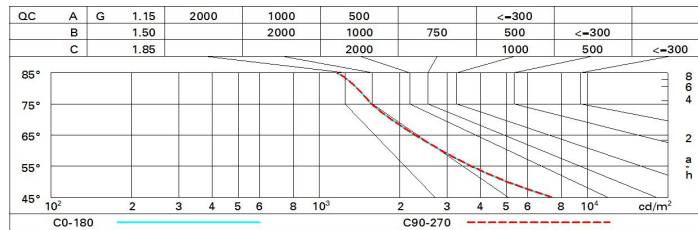
Polardiagramm



Wirkungsgrad

| R | 77 | 75 | 73 | 71 | 55 | 53 | 33 | 00 | DRR |
|------|----|----|----|----|----|----|----|----|-----|
| K0.8 | 71 | 67 | 64 | 62 | 66 | 64 | 64 | 61 | 77 |
| 1.0 | 74 | 71 | 68 | 66 | 70 | 68 | 67 | 65 | 82 |
| 1.5 | 78 | 75 | 73 | 72 | 74 | 72 | 72 | 69 | 88 |
| 2.0 | 80 | 78 | 77 | 76 | 77 | 76 | 75 | 73 | 92 |
| 2.5 | 82 | 80 | 79 | 78 | 79 | 78 | 77 | 75 | 95 |
| 3.0 | 83 | 82 | 81 | 80 | 80 | 80 | 79 | 77 | 97 |
| 4.0 | 84 | 83 | 82 | 82 | 82 | 81 | 80 | 78 | 99 |
| 5.0 | 84 | 84 | 83 | 83 | 82 | 82 | 81 | 79 | 100 |

Söllner-Diagramm



UGR-Diagramm

| Corrected UGR values (at 4700 lm bare lamp luminous flux) | | | | | | | | | | | | |
|---|------|------|------|------------------|------|------|------|----------------|--------|------|------|--|
| Reflect.: | | | | | | | | | | | | |
| ceiling/cav | | 0.70 | 0.70 | 0.50 | 0.50 | 0.30 | 0.70 | 0.70 | 0.50 | 0.50 | 0.30 | |
| walls | | 0.50 | 0.30 | 0.50 | 0.30 | 0.30 | 0.50 | 0.30 | 0.50 | 0.30 | 0.30 | |
| work pl. | | 0.20 | 0.20 | 0.20 | 0.20 | 0.20 | 0.20 | 0.20 | 0.20 | 0.20 | 0.20 | |
| Room dim | | | | | | | | | | | | |
| x | y | | | viewed crosswise | | | | viewed endwise | | | | |
| 2H | 2H | 10.4 | 11.0 | 10.6 | 11.2 | 11.4 | 10.4 | 11.0 | 10.6 | 11.2 | 11.4 | |
| | 3H | 10.4 | 10.9 | 10.7 | 11.2 | 11.5 | 10.3 | 10.8 | 10.6 | 11.1 | 11.4 | |
| | 4H | 10.4 | 10.9 | 10.7 | 11.2 | 11.5 | 10.3 | 10.8 | 10.6 | 11.1 | 11.4 | |
| | 6H | 10.3 | 10.8 | 10.7 | 11.1 | 11.5 | 10.2 | 10.7 | 10.5 | 11.0 | 11.3 | |
| | 8H | 10.3 | 10.8 | 10.7 | 11.1 | 11.4 | 10.2 | 10.6 | 10.5 | 10.9 | 11.3 | |
| | 12H | 10.3 | 10.7 | 10.7 | 11.1 | 11.4 | 10.1 | 10.6 | 10.5 | 10.9 | 11.2 | |
| 4H | 2H | 10.3 | 10.8 | 10.6 | 11.1 | 11.4 | 10.4 | 10.9 | 10.7 | 11.2 | 11.5 | |
| | 3H | 10.3 | 10.8 | 10.7 | 11.1 | 11.4 | 10.4 | 10.8 | 10.7 | 11.1 | 11.5 | |
| | 4H | 10.3 | 10.7 | 10.7 | 11.1 | 11.5 | 10.3 | 10.7 | 10.7 | 11.1 | 11.5 | |
| | 6H | 10.3 | 10.7 | 10.8 | 11.1 | 11.5 | 10.3 | 10.6 | 10.7 | 11.0 | 11.4 | |
| | 8H | 10.3 | 10.6 | 10.8 | 11.0 | 11.5 | 10.3 | 10.6 | 10.7 | 11.0 | 11.4 | |
| | 12H | 10.3 | 10.6 | 10.8 | 11.0 | 11.5 | 10.2 | 10.5 | 10.7 | 10.9 | 11.4 | |
| 8H | 4H | 10.3 | 10.6 | 10.7 | 11.0 | 11.4 | 10.3 | 10.6 | 10.8 | 11.0 | 11.5 | |
| | 6H | 10.3 | 10.5 | 10.8 | 11.0 | 11.5 | 10.3 | 10.6 | 10.8 | 11.0 | 11.5 | |
| | 8H | 10.3 | 10.5 | 10.8 | 11.0 | 11.5 | 10.3 | 10.5 | 10.8 | 11.0 | 11.5 | |
| | 12H | 10.3 | 10.5 | 10.8 | 11.0 | 11.5 | 10.3 | 10.5 | 10.8 | 10.9 | 11.5 | |
| 12H | 4H | 10.2 | 10.5 | 10.7 | 10.9 | 11.4 | 10.3 | 10.6 | 10.8 | 11.0 | 11.5 | |
| | 6H | 10.3 | 10.5 | 10.7 | 10.9 | 11.4 | 10.3 | 10.5 | 10.8 | 11.0 | 11.5 | |
| | 8H | 10.3 | 10.5 | 10.8 | 10.9 | 11.5 | 10.3 | 10.5 | 10.8 | 11.0 | 11.5 | |
| Variations with the observer position at spacing: | | | | | | | | | | | | |
| S = | 1.0H | | 4.7 | / -3.9 | | | | 4.7 | / -3.9 | | | |
| | 1.5H | | 7.4 | / -4.8 | | | | 7.4 | / -4.8 | | | |
| | 2.0H | | 9.3 | / -5.4 | | | | 9.3 | / -5.4 | | | |